Cycles thermodynamiques appliqués au moteurs

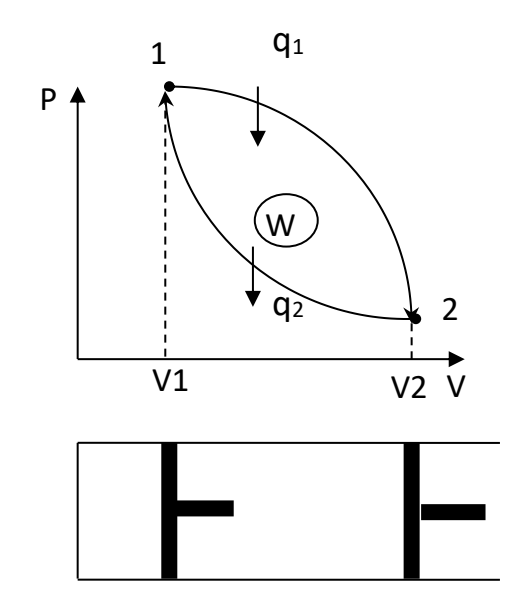
II.1 Introduction:

Un gaz enfermé dans un cylindre à piston peut effectuer un travail en subissant les transformations provoquant une variation de volume (augmentation) grâce à une quantité de chaleur reçue de l'extérieur.

II.2 Les cycles thermodynamique du moteur :

II.2.1 Cycle de Carnot:

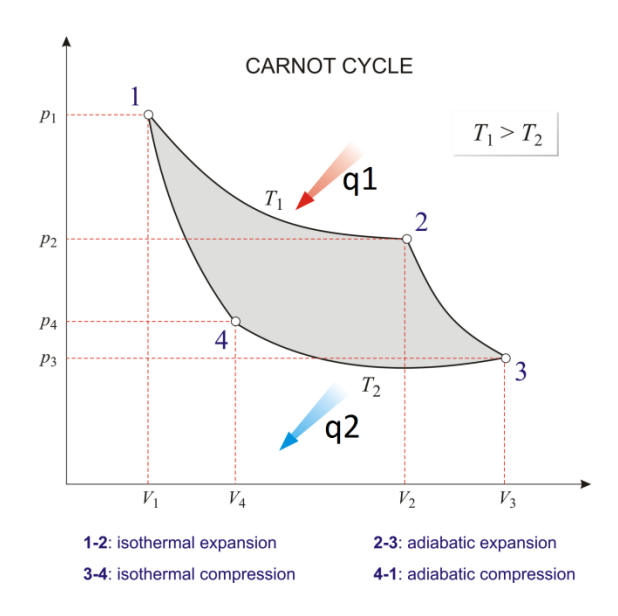
Pour assurer un fonctionnement continu, on doit répéter périodiquement le phénomène de détente en portant le gaz à l'état initial après chaque détente par une compression telle que le travail de compression soit inférieur au travail de détente.



$$\eta_{th} = \frac{w}{q_1} = \frac{q_1 - q_2}{q_1}$$

$$\eta_{th} = 1 - \frac{q_2}{q_1}$$

D'après la théorie de la thermodynamique le cycle le plus simple et donnant le maximum de rendement et le cycle de Carnot.



Constitué de deux isothermes et de deux adiabatique

$$\eta_{th}=1-rac{q_2}{q_1}$$
 , $\delta q=Tds$

$$\eta_{th} = 1 - \frac{T_2(s_4 - s_3)}{T_1(s_1 - s_2)}$$

$$\eta_{th} = 1 - \frac{T_2(s_1 - s_2)}{T_1(s_1 - s_2)}$$

$$\eta_{th} = 1 - \frac{T_2}{T_1}$$

Le rendement théorique du cycle de Carnot dépend uniquement des températures des deux sources T_1 et T_2 .

II.2.2 Cycles idéaux du moteur à combustion interne :

Le cycle de Carnot n'est pas réalisable réellement à cause des imperfections constructives et thermodynamiques. En effet le cycle met en jeu des pressions et des volumes très importants, d'autre part le taux de compression ρ peut dépasser 400 ce qui n'est pas réalisable. La pratique a montré qu'il est plus convenable d'élaborer 3 types fondamentaux de cycles idéaux.

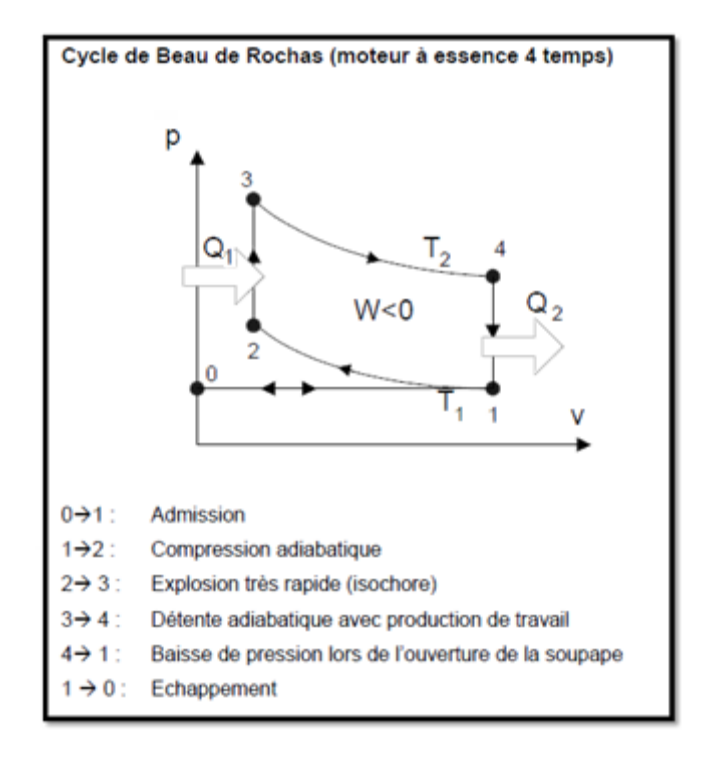
- a) Cycle avec apport de chaleur à V= constant
- b) Cycle avec apport de chaleur à P=constant
- c) Cycle avec apport de chaleur mixte (V=const. Et P=const.)

On admet pour un cycle idéal :

- Fluide moteur parfait
- Transformation réversible
- Paroi thermiquement isolé

II.2.3 Cycle avec apport de chaleur à volume constant (cycle de BEAU DE ROCHAS, **OTTO**):

La combustion se produit à volume constant ce type de diagramme est utilisé dans les moteur à allumage commandé.



On définit :

$$eta=rac{P_3}{P_1}$$
 Rapport manométrique ou taux d'élévation de pression $arepsilon=rac{V_1}{V_2}$ Taux de compression $k=rac{c_p}{c_v}$ coef. Adiabatique

II.2.3.1 Paramètres pour les différents états :

Transformation 1-2 (adiabatique):

On a:

$$p_1 v_1^K = p_2 v_2^K$$

$$p_2 = p_1 \left(\frac{v_1}{v_2}\right)^K$$

$$p_2 = p_1(\varepsilon)^K$$

D'autre part :

$$\frac{v_1}{v_2} = \varepsilon$$

$$v_2 = \frac{v_1}{\varepsilon}$$

Pour T:

$$T_1 V_1^{k-1} = T_2 V_2^{k-1}$$

$$T_2 = Tp_1 \left(\frac{V_1}{V_2}\right)^{k-1}$$

$$T_2 = T_1(\varepsilon)^{k-1}$$

Transformation 2-3 (isochore):

On a donc:

$$V_2 = V_3$$

Et:

$$\frac{P_3}{P_2} = \frac{T_3}{T_2} = \beta$$

$$P_3 = P_2 \beta$$

$$P_3 = P_1(\varepsilon)^K \beta$$

Pour T:

$$T_3 = T_2 \beta$$

$$T_3 = T_1(\varepsilon)^{k-1} \beta$$

Transformation 1-2 (adiabatique):

On a:

$$p_3 v_3^K = p_4 v_4^K$$

$$p_4 = p_3 \left(\frac{v_3}{v_4}\right)^K$$

$$p_4 = p_3 \left(\frac{v_2}{v_1}\right)^K$$

$$p_4 = p_3 \left(\frac{1}{\varepsilon}\right)^K$$

$$p_4 = p_1 \frac{\beta \varepsilon^K}{\varepsilon^K}$$

$$p_4 = p_1 \beta$$

D'autre part :

$$\frac{v_1}{v_2} = \varepsilon$$

$$v_2 = \frac{v_1}{\varepsilon}$$

Pour T:

$$T_{3}V_{3}^{k-1} = T_{4}V_{4}^{k-1}$$

$$T_{4} = T_{3} \left(\frac{V_{3}}{V_{4}}\right)^{k-1}$$

$$T_{4} = T_{3} \left(\frac{1}{\varepsilon}\right)^{k-1}$$

$$T_4 = T_1 \frac{\beta \varepsilon}{\varepsilon^{k-1}}^{k-1}$$
$$T_4 = T_1 \beta$$

	1	2	3	4
Р	P_1	$P_1 \varepsilon^k$	$\beta P_1 \varepsilon^k$	βP_1
V	V_1	$\frac{V_1}{\varepsilon}$	$\frac{V_1}{\varepsilon}$	V_1
Т	T_1	$T_1 \varepsilon^{k-1}$	$\beta T_1 \varepsilon^{k-1}$	βT_1

II.2.3.2 Le billon du cycle :

$$\eta_{th} = \frac{|w|}{q_1} = 1 - \frac{q_2}{q_1}$$

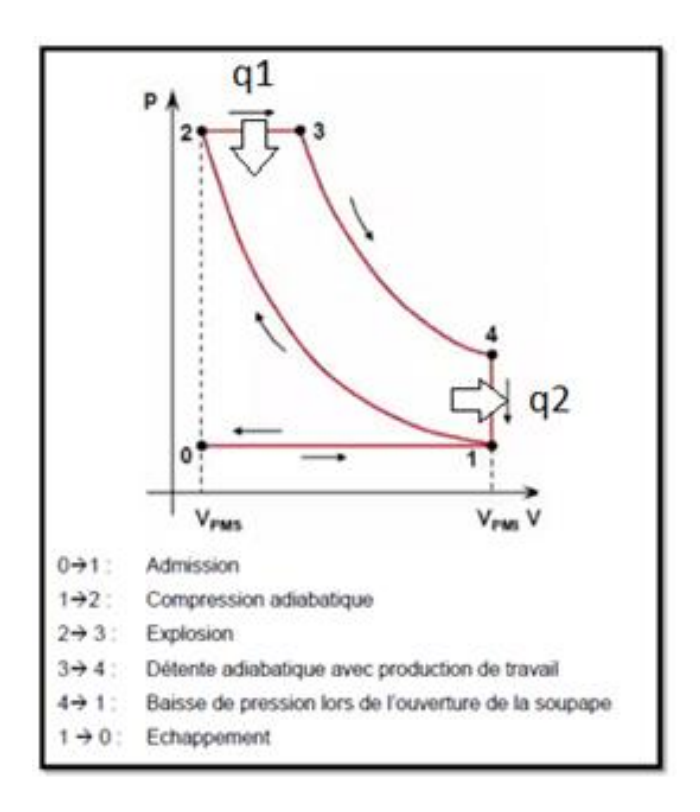
$$\eta_{th} = 1 - \frac{mC_{v}(T_{4} - T_{1})}{mC_{v}(T_{3} - T_{2})}$$

$$\eta_{th} = 1 - \frac{(\beta T_{1} - T_{1})}{(\beta T_{1} \varepsilon^{k-1} - T_{1} \varepsilon^{k-1})}$$

$$\eta_{th} = 1 - \frac{1}{(\varepsilon^{k-1})}$$

II.2.4 Cycle avec apport de chaleur à pression constante (cycle diesel):

La combustion se produit à pression constante sur le cycle Diesel généralement utilisé pour moteur diesel fixe ayant une puissance de 500 à 1500 Chauveau.



II.2.4.1 Paramètres pour les différents états :

	1	2	3	4
Р	P_1	$P_1 \varepsilon^k$	$P_1 \varepsilon^k$	$\varphi^k P_1$
V	V_1	$\frac{V_1}{\varepsilon}$	$\frac{\varphi V_1}{arepsilon}$	V_1
Т	T_1	$T_1 \varepsilon^{k-1}$	$\varphi T_1 \varepsilon^{k-1}$	$\varphi^k T_1$

 $\varphi = \frac{V_3}{V_2}$: Coefficient de détente préalable

II.2.4.2 Le billon du cycle :

$$\eta_{th} = \frac{|w|}{q_1} = 1 - \frac{q_2}{q_1}$$

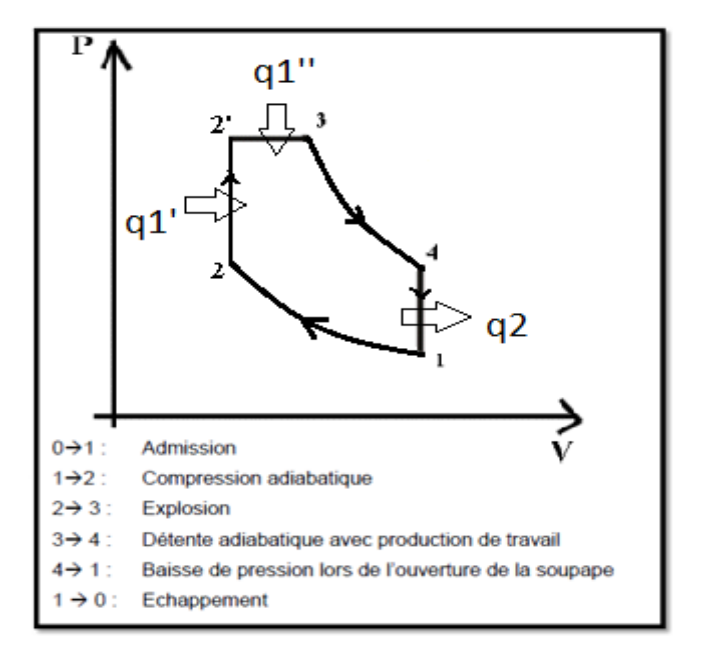
$$\eta_{th} = 1 - \frac{mC_{v}(T_{4} - T_{1})}{mC_{p}(T_{3} - T_{2})}$$

$$\eta_{th} = 1 - \frac{(\varphi^{k}T_{1} - T_{1})}{k(\varphi T_{1}\varepsilon^{k-1} - T_{1}\varepsilon^{k-1})}$$

$$\eta_{th} = 1 - \frac{1}{\varepsilon^{k-1}} \left(\frac{\varphi^k - 1}{k(\varphi - 1)} \right)$$

II.2.5 Cycle avec apport de chaleur à volume et pression constants (cycle mixte):

le cycle utilisé pour pratiquement tous les moteurs diesel (routier, léger, auto...).



II.2.5.1 Paramètres pour les différents états :

	1	2	2′	3	4
Р	P_1	$P_1 \varepsilon^k$	$\beta P_1 \varepsilon^k$	$\beta P_1 \varepsilon^k$	$\beta \varphi^k P_1$
V	V_1	$\frac{V_1}{\varepsilon}$	$\frac{V_1}{\varepsilon}$	$\frac{\varphi V_1}{\varepsilon}$	V_1
Т	T_1	$T_1 \varepsilon^{k-1}$	$\beta T_1 \varepsilon^{k-1}$	$\varphi \beta T_1 \varepsilon^{k-1}$	$\beta \varphi^k T_1$

II.2.5.2 Le billon du cycle :

$$\begin{split} &\eta_{th} = \frac{|w|}{q_1} = 1 - \frac{q_2}{q_1}, \, q_1 = q_1' + q_1'' \\ &\eta_{th} = 1 - \frac{mC_v(T_4 - T_1)}{mC_v(T_2' - T_2) + mC_p(T_3 - T_2')} \\ &\eta_{th} = 1 - \frac{mC_v(\beta \varphi^k T_1 - T_1)}{mC_v(\beta T_1 \varepsilon^{k-1} - T_1 \varepsilon^{k-1}) + mC_p(\varphi \beta T_1 \varepsilon^{k-1} - \beta T_1 \varepsilon^{k-1})} \\ &\eta_{th} = 1 - \frac{1}{\varepsilon^{k-1}} \cdot \frac{\beta \varphi^k - 1}{(\beta - 1) + k\beta(\varphi - 1)} \end{split}$$